

Modifizierung der Werkstoffe auf Basis von Magnesiumsilicid mit Hilfe der Spark-Plasma-Synthese

Dissertation

zur Erlangung des akademischen Grades Doktoringenieur (Dr.-Ing.)

vorgelegt der Fakultät Maschinenwesen der Technischen Universität Dresden

von
Dipl.-Ing. Nikolaus Reinfried
geb. am 30. 09. 1975 in Dresden

Gutachter: Prof. Dr.-Ing. B. Kieback

Prof. Dr. rer. nat. habil. Yu. Grin

Prof. Dr. C. Schuster

Eingereicht am: 15.03.2006

Tag der Verteidigung: 09.02.2007

Bibliografische Information Der Deutschen Bibliothek

Die Deutsche Bibliothek verzeichnet diese Publikation in der Deutschen Nationalbibliografie; detaillierte bibliografische Daten sind im Internet über http://dnb.ddb.de abrufbar.

1. Aufl. - Göttingen : Cuvillier, 2007 Zugl.: (TU) Dresden, Univ., Diss., 2007

978-3-86727-177-6

© CUVILLIER VERLAG, Göttingen 2007

Nonnenstieg 8, 37075 Göttingen

Telefon: 0551-54724-0 Telefax: 0551-54724-21

www.cuvillier.de

Alle Rechte vorbehalten. Ohne ausdrückliche Genehmigung des Verlages ist es nicht gestattet, das Buch oder Teile daraus auf fotomechanischem Weg (Fotokopie, Mikrokopie) zu vervielfältigen.

1. Auflage, 2007

Gedruckt auf säurefreiem Papier

Inhaltsverzeichnis

ΑI	bbildı	ıngsver	zeichnis	٧
Ta	abelle	nverzei	chnis	ix
ΑI	bkürz	ungsve	rzeichnis	xi
Ei	nleitu	ıng und	I Zielstellung	xiii
1	Lite	raturüb	persicht	1
	1.1	Die in	termetallische Phase Mg_2Si	1
		1.1.1	Kristallstruktur und Bindung	2
		1.1.2	Die schmelzmetallurgische Erzeugung	4
		1.1.3	Die pulvermetallurgische Erzeugung	6
		1.1.4	Erzeugung dünner Schichten	7
		1.1.5	Elektrische und thermoelektrische Eigenschaften	7
		1.1.6	Mechanische Eigenschaften	8
		1.1.7	Die Anwendungen	8
	1.2	Die bi	nären Phasen Mg_2X (X = Ge, Sn, Pb)	8
	1.3	Die te	rnären Phasen $Mg_2Si_{1-x}X_x$ und $Mg_{2-x/2}Si_{1-x}Sb_x$	10
	1.4	Die te	rnären Phasen Li-Mg-X	10
		1.4.1	Das System Li-Mg-Si	11
			1.4.1.1 Untersuchungen zum Phasendiagramm	11
			1.4.1.2 Intercalationsuntersuchungen von Li in Mg_2Si	13
			1.4.1.3 Kristallstruktur der Phasen im System Li-Mg-Si	15
		1.4.2	Phasen in den Systemen Li-Mg-X (X = Ge, Sn, Pb, Sb)	16
		1.4.3	Kernspinresonanzspektroskopie (NMR)	
		1.4.4	Raman-Streuung an Mg_2X -Phasen	19
	1.5	Die th	ermische Stabilität von MgH_2	19
	1.6	Das V	erfahren der Spark-Plasma-Synthese	21
		1.6.1	Grundlegende Vorgänge beim Sintern	21
		1.6.2	Das Spark-Plasma-Sinter-Verfahren	22
		1.6.3	Temperaturmessung im SPS-Prozess	24
	1.7	Zusan	nmenfassung und Zielsetzung	
		1.7.1	Spark-Plasma-Synthese	25
		1.7.2	Mg_2Si -basierte Verbindungen	25
		173	Das System Li-Mo-Si	26

2	Ехр	erimentelle Methoden 29	9
	2.1	Probenpräparation	9
		2.1.1 Hochenergiemahlen	9
		2.1.2 Pulvermetallurgische Probenpräparation)
		2.1.3 Spark-Plasma-Synthese	1
		2.1.4 Schmelzmetallurgische Probenpräparation	3
	2.2	Untersuchungsmethoden	
		2.2.1 Röntgendiffraktometrische Untersuchungen	
		2.2.2 Mikroskopische Untersuchungen	
		2.2.3 Dichtebestimmung	
		2.2.4 Mechanische Untersuchungen	
		2.2.4.1 Dreipunktbiegung	
		2.2.4.2 Bestimmung des E-Moduls mit Ultraschall	
		2.2.4.3 Härteprüfung nach Vickers	
		2.2.5 Elektrische Transporteigenschaften	
		2.2.6 NMR-Messungen	
		2.2.7 Chemische Analyse	
		2.2.8 Thermische Analyse	
	2.3	Fehlerbetrachtung	
3	Erge	ebnisse und Diskussion 43	3
	3.1	Die Reaktionstemperatur bei der SPS-Umsetzung von MgH ₂	3
	3.2	Untersuchungen der SPS-Presswerkzeuge	5
		3.2.1 Einfluss des Pressdruckes auf die SPS-Parameter	5
		3.2.2 Die Temperaturverteilung	3
		3.2.2.1 Zusammenfassung des Wissensstands	3
		3.2.2.2 Experimenteller Aufbau	3
		3.2.2.3 Beschreibung des SPS-Prozesses und dessen Parameter 48	3
		3.2.3 Schlussfolgerung	3
		3.2.4 Matrizendesign für Dreipunktbiegeproben	3
		3.2.5 Zusammenfassung und Schlussfolgerung 6	1
	3.3	Synthese und Eigenschaften der intermetallischen Phase Mg ₂ Si 62	2
		3.3.1 Schmelzmetallurgische Herstellung	2
		3.3.2 Chemische Zusammensetzung	2
		3.3.3 Festkörpersynthese während des SPS-Prozesses 65	5
		3.3.4 Voruntersuchungen	5
		3.3.5 Festkörpersynthese durch das Heißpressen 67	7
		3.3.6 Optimierung der Herstellungsparameter 67	7
		3.3.7 Thermoelektrische Eigenschaften	1
		3.3.8 Zusammenfassung	3
	3.4	Synthese und Eigenschaften der ternären Li-Mg-X-Phasen	4
		3.4.1 Das System Li-Mg-Si	4
		3.4.1.1 SPS-Synthese	5
		3.4.1.2 Schmelzsynthese)
		3.4.1.3 Schmelzpunkte)
		3.4.1.4 Korrekturen im ternären Phasendiagramm Li-Mg-Si 92	2
		3.4.1.5 Kristallstruktur	7
		3.4.1.6 NMR-Messungen	2

			3.4.1.7	Chemische Aktivität der $\text{Li}_{2x}\text{Mg}_{2-x}\text{Si-Phasen}$	114
			3.4.1.8	Spezifischer elektrischer Widerstand	116
			3.4.1.9	Messung der Vickershärte	116
			3.4.1.10	Zusammenfassung	120
		3.4.2	Die Syst	teme Li-Mg-(Ge, Sn, Pb)	121
	3.5	Die in	termetalli	ischen Phasen $Mg_2X_{1-x}Y_x$ und $Mg_{2-x/2}Si_{1-x}Sb_x$	125
		3.5.1		teme $Mg_2Si_{1-x}X_x$	
		3.5.2	Das Syst	tem Mg-Si-Sb	129
		3.5.3	Zusamm	nenfassung	133
	3.6	Mecha	anische Eig	igenschaften	135
		3.6.1	Mg_2Si .		136
		3.6.2	$Mg_2Si +$	- Mg	138
		3.6.3	$Mg_2Si +$	+ X	141
		3.6.4	_	olgerung	
		3.6.5	Zusamm	nenfassung	146
4	Zusa	ammen	fassung u	und Ausblick	149
5	Lite	raturve	erzeichnis		153
6	Anh	ang			167
•	6.1	_	len		
	6.2			me	
	6.3		_	is und Elektronendichtekarte	
D	anksa	gung			175
V	rsich	erung			177
•	JISICII	ciuiig			111
Le	bensl	lauf			179

Abbildungsverzeichnis

1.1	Kristallstruktur von Mg_2Si	2
1.2	Phasendiagramm Mg-Si	5
1.3	Morphologie von Mg_2Si in Mg -Legierungen	8
1.4	Phasendiagramm Li-Mg-Si 1	2
1.5	Phasendiagramm Li-Mg-Si 2	3
1.6	Phasendiagramm Li-Mg-Si 3	4
1.7	Strukturmodelle der Li-Mg-X-Phasen	7
1.8	XRPD von β -MgH ₂ und γ -MgH ₂	0
1.9	Skizze des SPS-Systems	3
1.10	Simulation der Temperaturverteilung im SPS-Presswerkzeug	5
1.11	Schematische Darstellung der Arbeit	6
2.1	REM-Bilder der Ausgangspulver	0
2.2	Dichteverteilung im Presswerkzeug	
2.3	Graphitmatrizen zwischen den Stempeln der SPS-Anlage	
2.4	Tantalampulle	
2.5	Präparation luftempfindlicher Pulver- und Einkristallproben	
2.6	Schematischer Aufbau von SPS-Graphitwerkzeugen	
2.7	Versuchsaufbau des Dreipunktbiegeversuchs	
2.8	Schematische Bildschirmanzeige beim Impulsechoverfahren	
2.9	Härteprüfung nach Vickers	:0
3.1	Zersetzungstemperaturen von MgH ₂	.3
3.2	Widerstand in Abhängigkeit des Pressdruckes	
3.3	Proben- und Matrizentemperatur	
3.4	Matrize mit zwei Thermoelementen T_A und T_I	
3.5	Schematische Darstellung der SPS-Parameter	
3.6	Vergleich ausgewählter SPS-Daten	
3.7	Schematische Darstellung der Temperaturverteilung	
3.8	Vergleich der Temperaturen T_A und T_I	2
3.9	Abhängigkeit von R , ρ und p vom Probendurchmesser	
3.10	Dichte Randschicht der SPS-Mg-Proben	4
3.11	SPS-Leistung	6
3.12	Vergleich der SPS-Energie	7
	Temperaturverteilung der fünfteiligen Matrize	9
	Gefüge eines Mg ₂ Si/Mg-Verbundwerkstoffs	0
	REM Bilder von Mg-Si	ำ

3.16	Reaktionsschicht Mg ₂ Si zwischen Mg und Si \dots	. 65
3.17	XRPD von MgH_2 (Ausgangszustand, gemahlen)	. 66
3.18	XRPD von heißgepresstem Mg_2Si	. 68
3.19	XRPD von Mg_2Si -SPS-Proben aus MgH_2 und Si	. 69
3.20	SPS-Daten unterschiedlich behandelter Pulvermischungen ${\rm MgH_2/Si}$. 70
3.21	Gefüge zweier SPS-Proben	. 71
3.22	Thermoelektrische Eigenschaft von Mg_2Si	. 72
	Phasendiagramm Li-Mg-Si	
3.24	XRPD von LiH, MgH_2	. 76
3.25	Gitterparameter der SPS-Li $_{2x}$ Mg $_{2-x}$ Si-Proben	. 77
3.26	XRPD mit den Nebenphasen Mg und Si in $Li_{2x}Mg_{2-x}Si$. 78
3.27	SPS-Daten einer LiH/MgH $_2$ /Si-Pulvermischung	. 79
3.28	XRPD mit den Nebenphasen Mg bzw. Li $_{18,4}$ Mg $_{81,6}$. 82
	Gefüge von $Li_{1,20}Mg_{1,40}Si$ und $Li_{1,60}Mg_{1,20}Si$	
3.30	Phasendiagramm Li-Mg-Si mit ausgewählten Proben	. 84
3.31	Gitterparameter von Li_vMg_2Si , $Li_wMg_{2-w}Si$ und $Li_{2x}Mg_{2-x}Si$. 85
3.32	WDXS-Daten von $Li_{2x}Mg_{2-x}Si$. 86
3.33	Gitterparameter der $\text{Li}_{2x} \text{Mg}_{2-x} \text{Si-Phasen}$. 87
3.34	XRPD-Daten von Li_vMg_2Si , $Li_wMg_{2-w}Si$ und $Li_{2x}Mg_{2-x}Si$. 88
3.35	Temperaturabhängige XRPD-Daten von $Li_{1.60}Mg_{1.20}Si$. 89
3.36	DTA-Messungen ausgewählter Li-Mg-Si-Phasen	. 90
3.37	DTA-Messung einer Mischung der Elemente Li, Mg, Si	. 91
3.38	Überarbeitetes Phasendiagramm Li-Mg-Si	. 93
3.39	Vergleich der theor. und exp. XRPDs von Li ₈ MgSi ₆	. 95
3.40	Vergleich der theor. und exp. XRPDs von $Li_{12}Mg_3Si_4$. 96
3.41	Morphologie der $Li_{2x}Mg_{2-x}Si$ -Kristalle	. 98
	Entwicklung der oktaedrischen Morphologie	
3.43	Gruppe-Untergruppe-Beziehungen 1	. 100
3.44	Strukturmodelle von $Fm\overline{3}m$ und $P\overline{4}3m$. 101
3.45	Rietveld-Verfeinerung von $\text{Li}_{0,32}\text{Mg}_{1,84}\text{Si}$. 102
3.46	Rietveld-Verfeinerung von $\text{Li}_{1,20}\text{Mg}_{1,40}\text{Si}$. 102
3.47	Strukturmodelle von $\mathrm{Li}_{2x}\mathrm{Mg}_{2-x}\mathrm{Si}$. 105
3.48	Vergleich der theor. und exp. XRPD-Daten von ${\rm Li}_{1,60}{\rm Mg}_{1,20}{\rm Si}$. 106
3.49	Rietveld-Verfeinerung von $Li_{1,60}Mg_{1,20}Si$. 106
3.50	Elektronendichtekarten	. 108
	Peakaufspaltung im XRPD von $\mathrm{Li}_{0,60}\mathrm{Mg}_{1,70}\mathrm{Si}$	
	NMR-Signale	
3.53	$^6\mathrm{Li\text{-}NMR\text{-}Signal}$ von $\mathrm{Li}_{1,20}\mathrm{Mg}_{1,40}\mathrm{Si}$. 114
3.54	Spezifischer elektrischer Widerstand der $\mathrm{Li}_{2x}\mathrm{Mg}_{2-x}\mathrm{Si}\text{-Phasen}$. 117
	Vickershärte in Abhängigkeit der Zusammensetzung	
	"indentation size effect" und Risse, verursacht durch Vickerseindrücke $\ \ldots \ \ldots$	
	Vergleich der Gitterparameter der Phasen $\mathrm{Li}_{2x}\mathrm{Mg}_{2-x}X$	
	$Pulver diffrakt og ramme\ von\ Li_w Mg_2 Ge\ und\ Li_{2x} Mg_{2-x} Ge .\ .\ .\ .\ .\ .$	
3.59	Gitterparameter von $Mg_2Si_{1-x}Ge_x$. 126
3.60	Gitterparameter von $Mg_2Si_{1-x}Sn_x$. 127

3.61	XRPD von $Mg_2Si_{0,4}Sn_{0,6}$	128
3.62	Ausschnitt des Phasendiagramms Mg-Si-Sb	129
	Gitterparameter der $Mg_{2-x/2}Si_{1-x}Sb_x$ -Phasen	
3.64	Gitterparameter von Mg_3Sb_2	131
3.65	XRPD-Muster im System Mg-Si-Sb	132
3.66	Maschinensteifigkeit	135
3.67	Vergleich des E-Moduls und des Kennwertes aus dem Dreipunktbiegeversuch $$	137
3.68	Abhängigkeit des Ultraschall-E-Moduls von der Dichte von ${\rm Mg_2Si}$	138
	Gefüge von ${\rm Mg_2Si/Mg\text{-}Verbundwerkstoffen}$	
3.70	Spannungs-Dehnungs-Diagramm von $\mathrm{Mg_2Si/Mg}$	140
3.71	Bruchflächen von ${\rm Mg_2Si/Mg\text{-}Verbundwerkstoffen}$	141
3.72	Abhängigkeit des Ultraschall-E-Moduls von der Dichte von $\mathrm{Mg_2Si}/\mathrm{X}$	143
3.73	Gefüge von $(Mg_2Si)_{60}(Cr)_{40}$ und $(Mg_2Si)_{60}(TiAl)_{40}$	144
3.74	Mechanische Daten der Mg ₂ Si-Verbundwerkstoffe	145
6.1	Gruppe-Untergruppe Beziehungen 2	171
6.2	Binäre Phasendiagramme Mg-(H, Li, Sb), Li-Si	172
6.3	Binäre Phasendiagramme Mg-(Si, Ge, Sn, Pb)	173
6.4	Radienverhältnisse und Elektronendichtekarte	174

Tabellenverzeichnis

1.1	Phasen im System Li-Mg-Si
1.2	Phasenübersicht MgH_2
1.3	Bezeichnungen für das Spark-Plasma-Sintern
3.1	Standardbildungsenthalpien ausgewählter Substanzen
3.2	Zusammensetzung von Mg_2Si
3.3	Schmelzpunkte von Proben entsprechend $Li_{2x}Mg_{2-x}Si$ 81
3.4	Vergleich der Dichtewerte von Proben entsprechend $\mathrm{Li}_{2x}\mathrm{Mg}_{2-x}\mathrm{Si}$ 90
3.5	Proben für die Evaluierung des Phasendiagrammes Li-Mg-Si
3.6	Vergleich der Gitterparameter von Li ₈ MgSi ₆
3.7	Verfeinerung der Röntgendaten von $\text{Li}_{0,32}\text{Mg}_{1,84}\text{Si}$
3.8	Verfeinerung der Röntgendaten von $\text{Li}_{1,20}\text{Mg}_{1,40}\text{Si}$
3.9	Theoretischen Röntgendaten von $Li_{1,60}Mg_{1,20}Si$
3.10	Experimentelle Röntgendaten von $Li_{1,60}Mg_{1,20}Si$
3.11	Phasenbreiten der kubischen Phasen $Li_{2x}Mg_{2-x}Si$
3.12	Phasenübersicht in den Systemen Mg-Si-X
3.13	Biegewert bei unterschiedlichen Probengeometrien
6.1	Verwendete Materialien
6.2	Gitterparameter, Schmelzpunkte und Dichte für Mg_2Si
6.3	Gitterparameter und Dichte für Mg_2X
6.4	Werte aus der Messung der Vickershärte

Abkürzungsverzeichnis

Abb. Abbildung At.% Atomprozent

B thermischer Auslenkungsparameter

BSE back scattered electron

Rückstreuelektron

CFC carbon fibre composite

Kohlefaser-Verbundwerkstoff

DSC Differential Scanning Calorimeter

DTA Differenz-Thermoanalyse

EDXS Energiedispersive Röntgenstrahlspektroskopie

Gew.% Gewichtsprozent HF-Ofen Hochfrequenzofen HV Vickershärte

HVL Vickershärte unter wirkender Last

IUPAC International Union of Pure and Applied Chemistry

MAS Magic Angle Spinning

NMR Nuclear Magnetic Resonance

Kern-Spin-Resonanz

ODS oxyd-dipersion-strengthened

Dispersionsverfestigung durch die Bildung von Oxiden

OES Optische Emissionsspektroskopie

PID-Regler Proportional-Integrator-Differenziator-Regler

R-Wert Güte-Wert einer Strukturverfeinerung

SE secondary electron

Sekundärelektron

 ${
m SiAlON}$ ${
m Si}_3{
m N}_4{
m -}{
m Al}_2{
m O}_3$ Mischkeramik SPS Spark Plasma Sintering

Tab. Tabelle

TEM Transmissionselektronenmikroskopie

TG Thermogravimetrie WC Wolframcarbid

WDXS Wellenlängendispersive Röntgenstrahlspektroskopie

XRD X-ray Diffraction

Röntgenbeugung

XRPD X-ray Powder Diffraction

Röntgenbeugung an Pulverproben

Einleitung

Energieeinsparung, -umwandlung und -speicherung sind heute von großer Bedeutung. Bauteile, die beschleunigten Bewegungen ausgesetzt sind, sollten möglichst leicht sein, Batterien sollten eine hohe Energiedichte bei höchstmöglicher Lebensdauer aufweisen, und thermoelektrische Elemente sollten einen hohen Wirkungsgrad für eine günstige, einfache und dauerhafte Energieumwandlung haben. Für eine Reihe dieser Anwendungen bieten intermetallische Phasen mit ihren oft geringen Dichten, hohen Festigkeiten und Steifigkeiten, guten Korrosionsbeständigkeiten und elektrischen Eigenschaften im Vergleich zu gewöhnlichen Metallen eine Lösung. Weitere Verbesserungen der Eigenschaften können durch Variation der Zusammensetzungen und Kombination mit anderen Werkstoffen erreicht werden. Insbesondere Silicide bieten eine große Vielfalt an Materialien mit unterschiedlichen Eigenschaften.

Gegenüber den bestimmten chemischen können die physikalischen Eigenschaften in gewissen Grenzen durch das Gefüge des Werkstoffs beeinflusst werden. So zeigen z.B. Werkstoffe, die ein feinkörniges Gefüge aufweisen, eine höhere Härte als der gleiche grobkristalline Werkstoff. Durch die Herstellungsbedingungen kann das Gefüge manipuliert werden. Die Pulver- und Sintertechnologie bietet bei metallischen (Pulvermetallurgie) und keramischen Werkstoffen durch die Pulverherstellung, -kompaktierung und -formgebung und den anschließenden Sintervorgang Möglichkeiten, das Gefüge in gewissen Grenzen gezielt zu beeinflussen.

Neben der Material- und Energieeinsparung bei der pulvermetallurgischen Herstellung von Massenteilen z. B. im Automobilbau, können im Vergleich zu schmelzmetallurgisch erzeugten Produkten nahezu beliebige Verbundwerkstoffe hergestellt werden, die über Schmelzverfahren nicht zugänglich sind. Dies sind beispielsweise Hartmetall-Werkzeuge basierend auf Wolframcarbid-Cobalt, keramische Stoffe wie SiAlON aus einem Gemisch von Si_3N_4 und Al_2O_3 , Metall-Keramik-Verbunde wie Al_2O_3 /Titan oder Gradientenwerkstoffe bei denen anwendungsrelevante Eigenschaften räumlich verändert werden, wie z. B. der Porenraum bei Filtern.

Die Spark-Plasma-Synthese [1; 2] als ein modernes Verfahren der Pulvermetallurgie bietet durch eine direkte Probenheizung die Kompaktierung eines Pulverpresslings in kürzerer Zeit, bei insgesamt niedrigeren Temperaturen des Sintergutes und ein feinkörnigeres Gefüge als bei konventionellen Verfahren wie Heißpressen oder heißisostatisches Pressen. Schwer sinterbare Materialien wie z. B. SiC, Al_2O_3 oder Materialkombinationen bei Schichtverbunden wie ZrO_2 /Edelstahl lassen sich durch diese Technik herstellen.

Zielstellung

Basierend auf der intermetallischen Phase Magnesiumsilicid (Mg₂Si) sollen in dieser Arbeit mit Hilfe der Pulvermetallurgie und der Spark-Plasma-Synthese Möglichkeiten untersucht werden, die mechanischen Eigenschaften dieses leichten, hochtemperaturbeständigen, harten aber spröden Materials zu beeinflussen. Eine Möglichkeit stellen Verbundwerkstoffe dar. Mit möglichst hohen Gehalten an Mg₂Si, um die geringe Dichte und die hohe Festigkeit auszunutzen, werden Verbunde mit Magnesium und Aluminium untersucht. Um die Temperaturbeständigkeit von Mg₂Si nutzen zu können, werden Kombinationen mit Titan, Chrom und Vanadium analysiert, die ebenfalls einen hohen Schmelzpunkt zeigen.

Eine andere Möglichkeit, um die Eigenschaften von Mg₂Si zu beeinflussen, ist die Legierungsbildung. Die Variation der Bindungsverhältnisse z.B. durch den Einbau von Lithium soll den metallischen Charakter von Mg₂Si vor allem im Hinblick auf eine reduzierte Sprödigkeit betonen. Die Erstellung präziser Daten über die Härte, die Dichte, den Schmelzpunkt und die strukturellen Änderungen im System Lithium-Magnesium-Silicium ist angestrebt, um die Eigenschaftsänderungen in Bezug auf Mg₂Si zu beschreiben. In Analogie dazu sollen die Systeme Lithium-Magnesium-(Germanium, Zinn, Blei) untersucht werden. Damit kann ein entscheidender Beitrag für die Lösungen und Erklärungen der in der Literatur geschilderten Probleme der Auf- und Entladezyklen sowie die strukturelle Desintegration von Mg₂Si bzw. Mg₂Ge, Mg₂Sn und Mg₂Pb als Anodenmaterial für Lithium- bzw. Lithium-Ionen-Batterien gegeben werden. Neben den werkstoffwissenschaftlichen Gesichtspunkten wird die verwendete SPS-Technik hinsichtlich der Temperatur- und Stromverteilung innerhalb des Presswerkzeuges diskutiert. Der Einfluss eines Temperaturgradienten im Zusammenwirken des Stromflusses und des Pressdruckes auf das Gefüge soll durch die Reaktion des elektrisch schlecht leitenden Magnesiumhydrids in das gut leitende Magnesium während des SPS-Prozesses untersucht werden. Um mit Hilfe der SPS-Technik stäbchenförmige Proben für die mechanische Charakterisierung mittels des Dreipunktbiegeversuchs herstellen zu können, werden innerhalb dieser Arbeit neue Werkzeuge entwickelt und ihre Eigenschaften optimiert.

1 Literaturübersicht

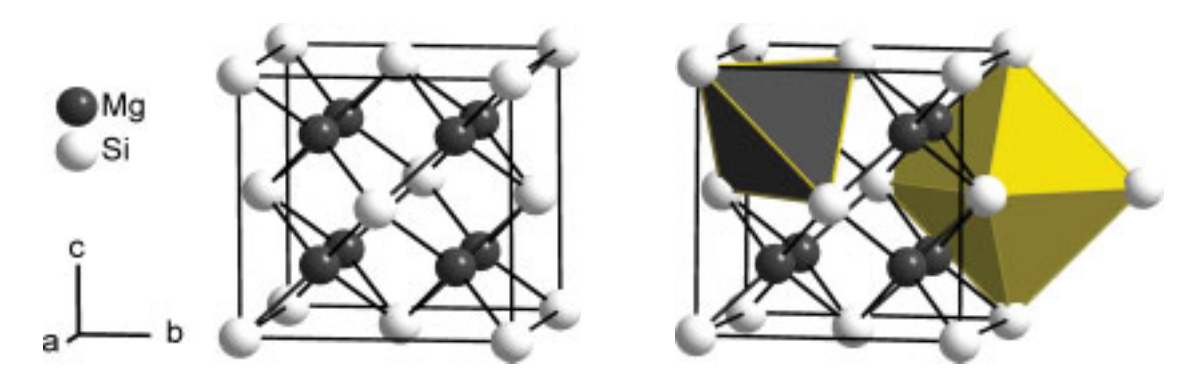
In diesem Kapitel wird eine Übersicht der unterschiedlichen Phasen in den binären Systemen $\mathrm{Mg_2X}$ und den ternären Systemen $\mathrm{Mg_2X_{1-y}Y_y}$, Li-Mg-X (X, Y = Si, Ge, Sn, Pb) und Mg-Si-Sb gegeben. Diese Materialsysteme werden vorwiegend für thermoelektrische Elemente und als Lithium- bzw. Lithium-Ionen-Batterien untersucht und angewendet. Ebenso werden die Besonderheiten von Magnesiumhydrid als Ausgangsmaterial für die pulvermetallurgische Herstellung dieser Materialien sowie die verwendete Technik des Spark-Plasma-Sinterns dargestellt.

1.1 Die intermetallische Phase Mg₂Si

"Werden in ein Metall Atome eines zweiten Metalls solange eingebaut, bis eine neue Kristallstruktur gebildet wird, dann bezeichnet man diese als intermetallische Phase" [3]. Intermetallische Phasen sind stabil und meist hart und spröde. Diese Raumtemperatursprödigkeit resultiert aus dem komplizierten Aufbau der Phasen. Ihre Struktur besteht aus zwei sich durchdringenden Untergittern mit Atomen von zum Teil stark unterschiedlichen Radien. Deshalb sind die für die Gleitung und damit auch für die plastische Verformung bedeutsamen Peierlsspannungen und Burgers-Vektoren im Vergleich zu denen der Ausgangskomponenten groß. Die plastische Verformung wird dadurch behindert.

Unter intermetallischen Phasen lassen sich, gekennzeichnet durch ihre chemische Zusammensetzung, Kristallstruktur und Eigenschaften einige spezielle Gruppen definieren: die Laves-, Hume-Rothery-, Zintl-, Grimm-Sommerfeldsche-Phasen und Einlagerungsverbindungen. Die hier interessierenden Zintl-Phasen zeichnen sich durch einen stark heteropolaren Bindungscharakter und eine durch elektronische Faktoren bedingte Zusammensetzung aus. Als Zintl-Phasen werden Verbindungen bezeichnet, die aus zwei oder mehr metallischen oder halbmetallischen Hauptgruppenelementen bestehen, die einen großen Unterschied in ihrer Elektronegativität aufweisen [4]. Entsprechend dem Zintl-Konzept werden in einer Phase $A_m X_n$ die Valenzelektronen der Kationen A auf die Anionen X übertragen, um das Oktettprinzip zu erfüllen. Das Element X ist bestrebt, die Elektronenkonfiguration des folgenden Edelgases zu erreichen. Dieses Konzept verknüpft die gesamte Valenzelektronenanzahl mit der Bindigkeit der Metallatome [5]. Gemäß dem Zintl-Konzept lässt sich die Phase Mg_2Si als $Mg_2^{2+}Si^{4-}$ schreiben, das exakt dieser (8-N)-Regel entspricht.

Im System Mg-Si tritt Mg₂Si als einzige thermodynamisch stabile Phase auf. Sie schmilzt kongruent, und es lässt sich kein Homogenitätsbereich messen. Die intermetallische Phase Mg₂Si ist spröde und zeigt eine blaue Farbe, eine geringe Dichte von 1,98 g/cm³ und einen hohen Schmelzpunkt von 1085 °C [6–10].



$Mg_{66,67}Si_{33,33}$ (At.%), $Mg_{63,38}Si_{36,62}$ (Gew.%)						
Raum-	Atom	Wyckoff-				Beset-
gruppe		Lage	X	У	\mathbf{z}	zung
<i>Fm</i> 3̄ <i>m</i> (Nr. 225):	Si	4a	0	0	0	1
16 Positionen		4b	1/2	1/2	1/2	
12 Atome	Mg	8c	1/4	1/4	1/4	1

Abb. 1.1: Kristallstruktur von Mg₂Si (links) mit dem repräsentativ hervorgehobenen Tetraeder- und Oktaederplatz (rechts) und einigen kristallographischen Daten aus [11]. □ bedeutet Leerstelle.

1.1.1 Kristallstruktur und Bindung

 Mg_2Si kristallisiert in der Raumgruppe $Fm\overline{3}m$ (Nr. 225) im sogenannten Antifluorittyp (anti-CaF₂-Typ) mit einem Gitterparameter von 6,353 Å (vgl. **Tab. 6.2**). Im CaF₂-Typ oder auch AX_2 -Typ werden die Kationen (Ca²⁺) würfelförmig von 8 Anionen (F⁻) umgeben, wohingegen die Anionen tetraedrisch von 4 Kationen umgeben sind. Bei dem Antifluorittyp oder auch A_2X -Typ werden die Kationen- und Anionenplätze vertauscht [12]. Im Fall von Mg_2Si werden die Si-Anionen (Si⁴⁻) würfelförmig von 8 Mg-Kationen (Mg^{2+}) umgeben (vgl. **Abb. 1.1**).

In den Arbeiten [13] und [14] wird die chemische Bindung im Antifluorittyp am Beispiel von CaF₂ und Mg₂Si bzw. Mg₂Pb diskutiert. "Geht man von der Annahme aus, dass Mg als Mg²⁺-Ion und Si als Si⁴⁺-Ion vorliegt, so verbleibt für jede der 8 von Si zu Mg hingehenden kovalenten Bindungen ein Elektron." Demnach ist eine Hybridbindung bestehend aus zwei Elektronen entgegengesetzten Spins in den 8 Valenzrichtungen nicht möglich. "Man kann sich vorstellen, dass zu einem bestimmten Zeitpunkt 4 Richtungen nach den Eckpunkten eines gleichseitigen Tetraeders im Sinne einer normalen Hybridfunktion betätigt sind, während die anderen frei bleiben. Die nicht von einer kovalenten Bindung erfassbaren Mg-Atome sind dann als Mg²⁺-Ionen durch Ionenbindung an den Restkörper gebunden. In einer zweiten möglichen Form werden die freigebliebenen Valenzen besetzt, während die früheren unbesetzt bleiben. Das Gesamtsystem wird also durch Überlagerung zweier entarteter Zustände beschrieben." Der Vergleich der Ionenradien und der kovalenten Radien in Bezug auf den Gitterparameter ergibt in [14] die Schlussfolgerung, dass eine weitgehend kovalente Bindung in Mg₂Si vorliegt (vgl. Abb. 6.4).